



## Deformation effects on the gold behavior in Barika gold-rich massive sulfide deposit, east of Sardasht

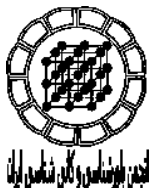
Ali Yarmohammadi, Ebrahim Rastd

Department of Geology, Economic Geology, Tarbiat modares University of Tehran, Iran  
E-mail: yarmohammadi77ir@yahoo.com

(Received:14/10/2007, in revised form: 12/7/2008)

**Abstract:** Barika gold mineralization occurred in a Cretaceous metavolcano-sedimentary sequence at northwestern Sanandaj-Sirjan zone. Gold-rich volcanogenic massive sulfide mineralization occurred in a rhyolite to rhyolitic tuff unit which is completely in Barika shear zone. Based on electron microprobe studies, gold is observed to form electrum mostly, and in lattice of other minerals, such as pyrite, galena, tetrahedrite- tenantite, bournonite-boulangerite, twinte- vinnite. The main effect of deformation on the gold mineralization is migration of submicroscopic gold to cracks and crystal defects in minerals to form electrum under low to moderate strain and release of electrum from fractured mineral under higher strain. This behavior of gold can increase recovery of gold in Au-bearing ore deposits (Huston et al., 1992).

**Keywords:** *electrum, deformation, gold-rich massive sulfide, Barika*



## تأثیر دگرشکلی بر رفتار طلا در نهشتۀ ماسیوسولفید سرشار از طلای باریکا، شرق سردشت

علی یارمحمدی، ابراهیم راستاد

گروه زمین‌شناسی اقتصادی دانشگاه تربیت مدرس  
پست الکترونیکی: yarmohammadi77ir@yahoo.com

(دربافت مقاله ۸۶/۷/۲۳، نسخه نهایی ۸۷/۴/۲۲)

**چکیده:** گستره معدنی باریکا در دنباله آتشفسانی - ته نشستی زیردریائی کرتاسه در پایانه شمال غربی زون سنندج- سیرجان قرار دارد. کانه‌زائی ماسیوسولفید غنی از طلا در واحد متاریولیت- توف رویولیتی این دنباله، رخ داده است. این کانه‌زائی در اصلی‌ترین و بزرگترین پهنه‌برشی منطقه واقع شده است (پهنه‌برشی باریکا). بنا بر بررسیهای ریز پردازشی الکترونی، طلا بیشتر به صورت، الکتروم و نیز درگیر با شبکه دیگر کانیها از جمله پیریت، گالن، تترائدریت-تنانتیت، بورونوئیت-بولاتزیت و تووینیت- وینیت دیده می‌شود. مهمترین اثر دگرشکلی بر کانه‌زائی طلا در گستره معدنی باریکا شامل خروج الکتروم غیرقابل رؤیت از درون کانیهای طلدار از جمله پیریت، و قرارگیری و تبلور دوباره آن در شکستگیها و فضای بین بلوری کانیها، به صورت الکتروم درشت بلور است، به طوریکه اندازه بلورهای الکتروم تا ۲۶۴ میکرون نیز می‌رسد. این رفتار الکتروم در طی دگرشکلی می‌تواند باعث افزایش بازیافت طلا از کانسنگ طلا در نهشتۀ های ماسیوسولفید غنی از طلای دگرشکل شود.

**واژه‌های کلیدی:** الکتروم، دگرشکلی، ماسیوسولفید سرشار از طلا، باریکا.

دارد. بررسی رفتار کانی الکتروم در طی دگرشکلی در ذخیره ماسیوسولفید سرشار از طلای باریکا، علاوه بر مسائل خاستگاهی کانی سازی، کمک فراوانی در حل مباحث فراوری و استحصال طلا خواهد کرد.

### زمین‌شناسی

گستره معدنی باریکا در دنباله آتشفسانی- ته نشستی زیردریائی کرتاسه در پایانه شمال غربی زون سنندج- سیرجان قرار دارد. این دنباله آتشفسانی- ته نشستی در منطقه باریکا از پائین به بالا شامل متابدزیت- لاتی‌آندزیت، متاریولیت- توف رویولیتی، متاتوف با میان‌لایه‌هایی از آهک و ماسه‌سنگ و اسلیت سیاه، است. بالاترین بخش را فیلیت‌ها و سنگهای آذرین دگرگون شده تشکیل می‌دهند که ارتفاعات خاوری گستره دارد.

### مقدمه

منطقه معدنی باریکا در فاصله ۲۷ کیلومتری خاور شهرستان سردشت، در جنوب استان آذربایجان غربی قرار دارد. بررسی اثرهای ناشی از فرایندهای دگرشکلی روی نهشتۀ‌های معدنی از اهمیت ویژه‌ای برخوردار است؛ چرا که در مواردی فرایندهای دگرشکلی پس از کانه‌زائی اولیه باعث تمرکز و تغليظ مواد معدنی شده و در اقتصادی بودن نهشتۀ نقش مهمی را ایفا می‌کنند. گستره معدنی باریکا با توجه به قرارگیری آن در زون سنندج- سیرجان، تحت تأثیر دگرشکلیهای ناشی از پهنه‌های برشی منطقه قرار گرفته است. بررسی اثرهای این دگرشکلی باعث شناخت هرچه بیشتر کانه‌زائی اولیه و رفتارهای بعدی کانیها در ساخت و بافت‌های جدید تشکیل شده بر اثر دگرشکلی

ماسيوسولفید سرشار از طلا از قبيل ذخایر Rosbery و Hellyer در تاسمانیا [۴ و ۵] و یکسری نهشته‌های نوع کروکو در Hokuroko Basin ژاپن [۶] است.

در این مقاله با توجه به اهمیت ویژه طلا در این کانه‌زائی، به بررسی رفتار کانی الکتروم طی دگرشكلي پرداخته می‌شود.

### الکتروم

بنا بر بررسیهای ریز پردازشی الکتونی (EWS و EDS) در آزمایشگاه مرکز تحقیقات و فراوری مواد معدنی ایران که با 20 kev 30 na شرکت Cameca SX100 فرانسه و در شرایط 20 kev 20 na بیشتر به صورت الکتروم و نیز درگیر شبکه کانیهای دیگر، از جمله پیریت (حداکثر ۲۰۸۰ گرم در تن)، گالن (حداکثر ۱۹۰۰ گرم در تن)، تترائدریت-تنانتیت (حداکثر ۱۰۰۰ گرم در تن)، بورونیت-بولاتزریت (حداکثر ۴۰۰ گرم در تن) و تووینیت-وینیت (حداکثر ۲۰۰۰ گرم در تن) دیده می‌شود.

چنانکه اشاره شد، گستره معدنی باریکا تحت تأثیر پهنه برشی شکنا-شکل پذیر باریکا قرار گرفته است که این پهنه‌ها به موازات گسلهای رورانشی بزرگ منطقه و مجموعاً به موازات رورانده اصلی زاگرس هستند [۷].

بررسیهای انجام شده نشان داده است که دگرگونی و دگرشكليهای پس از ته نشین شدن می‌تواند بر رخداد کانه‌زائی طلا در ماسيوسولفیدها اثر بگذارد. هاستون و دیگران (۱۹۹۲) با توجه به بررسیهای انجام گرفته بر ذخایر ماسيوسولفید غنی از طلای تاسمانیا، نتیجه گرفتند که طلا در نهشته‌های نادگرشكلي یا با دگرشكلي خيلي ضعيف، به صورت پیریت طلادر و یا آرسنوبیریت طلادر دیده می‌شوند در حالی که در نهشته‌هایی که تحت تأثیر دگرشكلي قرار گرفته‌اند، الکتروم مهم‌ترین کانی طلاست [۸]. به طور کلی طلای اولیه ممکن است به صورت غيرقابل رؤیت در پیریت و یا کانی‌های دیگر وجود داشته باشد (شکل ۱ الف)، وقتی پیریت در اثر فرایندهای دگرشكلي بعدی باز تبلور می‌یابد، طلا به مرز دانه‌ها و یا شکستگی‌های موجود در پیریت مهاجرت کرده و به صورت الکتروم میکروسکوپی قابل مشاهده است (شکل ۱ ب). این مهاجرت از طریق ساز و کار خرزشی ته نشست- محلول

کانه‌زائی طلا، نقره، و فلزات پایه در واحد متاریولیت- توفربولیتی رخ داده است [۱]. دنباله آتشفسانی - ته نشستی کرتاسه در منطقه باریکا تحت تأثیر پهنه‌های برشی شکنا-شکل پذیر با روند شمال باختری- جنوب خاوری قرار گرفته است. کانه‌زائی مورد مطالعه در اصلی‌ترین و بزرگترین پهنه برشی منطقه (پهنه برشی باریکا) واقع شده است [۲]. این پهنه برشی طولی در حدود ۳ کیلومتر و عرض میانگین ۴۰۰ متر دارد.

### دگرسانی و کانه‌زائی

بر پایه کارهای قبلی انجام شده [۱ و ۳]، دگرسانی اصلی وابسته به کانی سازی، شامل سرسیتی- سیلیسی- پیریتی بوده و دگرسانی کلریتی و کلسیتی نیز در کمرپایین و حاشیه کانی سازی دیده می‌شود. کانه‌زائی طلا، نقره، فلزات پایه، و باریت در گستره معدنی باریکا به شکل عدسی و در بخش فوقانی سنگهای آتشفسانی اسیدی رخ داده است. کانی سازی از پائین به بالا سه زون تشکیل شده است [۱] :

- زون سیلیسی سولفیددار

- زون غنی از سولفید و سولفوسالت

- زون کانسنگ باریتی

نمونه‌های آنالیز شده زونهای سه‌گانه دارای عیارهای متفاوت و جالبی از طلا، نقره، و فلزات پایه‌اند، به طوریکه مقدار طلا در برخی از نمونه‌های زون غنی از سولفید و سولفوسالت تا به بیش از ۱۰۰ ppm می‌رسد.

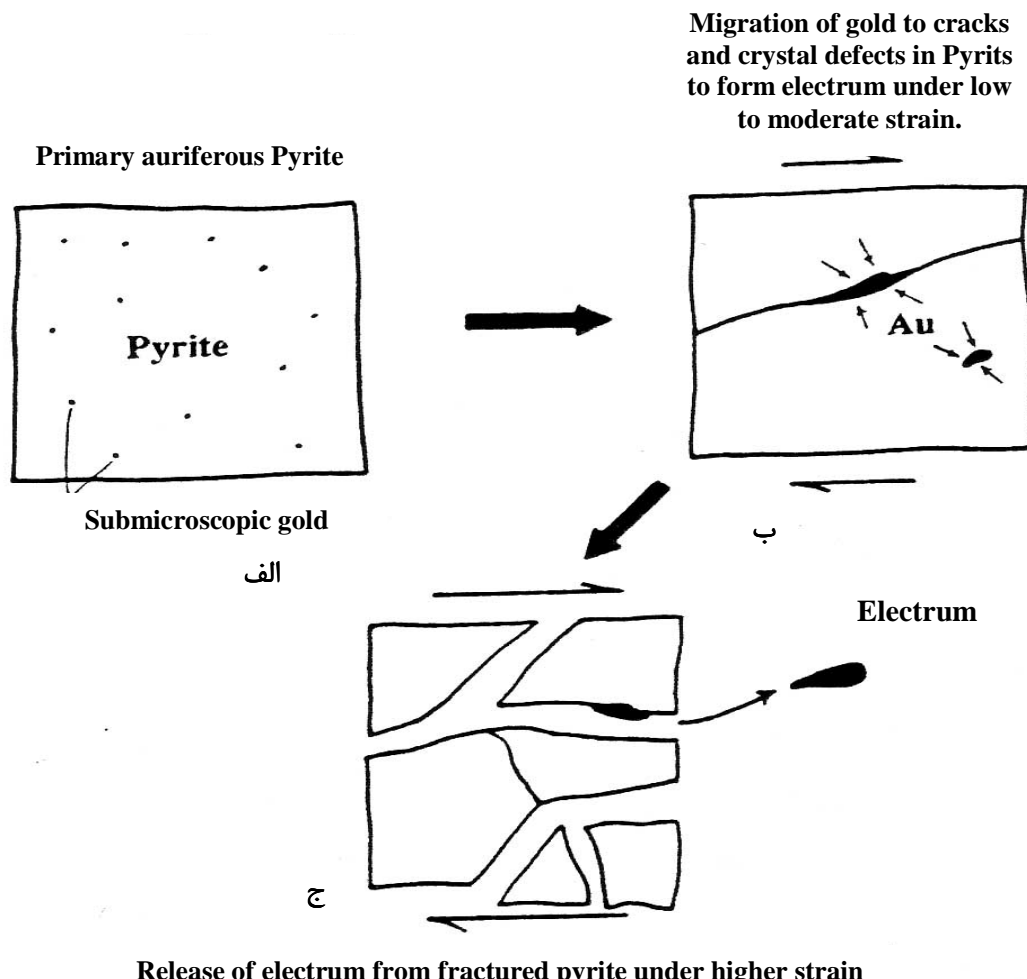
بررسیهای کانی‌شناسی مقاطع نازک - صیقلی، صیقلی، و نتایج حاصل از آنالیزهای XRD و آنالیزهای ریز پردازش الکترونی در زونهای کانه‌زائی یاد شده، منجر به شناسایی کانیهای متعدد سولفیدی، سولفوسالتی، اکسیدی، و کربناتی به صورت اولیه و ثانویه شده است، که می‌توان از پیریت، اسفالریت، گالن، تترائدریت-تنانتیت، بورونیت-بولاتزریت، جیمسونیت، تووینیت-وینیت، استیبنیت، الکتروم، کالکوپیریت، کوولیت، ملاکیت، آزوریت، هماتیت، گوتیت، و لیمونیت نام برد.

بر پایه کارهای قبلی انجام شده [۱ و ۳]، کانه‌زائی طلا، نقره، و فلزات پایه در این گستره معدنی مشابه گونه‌های

باریکا به صورت جالبی رخ داده و به خوبی دیده می‌شوند. مرحله الف در شکل ۱، به روش ریز پردازش الکترونی پیریت-های فرامبوئیدال و کلوفورمی که از دگرشکلی در امان مانده‌اند و تنها در بخش‌های محدودی از زون کانسنسنگ باریتی مشاهده می‌شوند، مشخص شده است. آنالیز کمی این پیریتها حداکثر ۲۰۸۰ گرم در تن طلا را نشان داده است (جدول ۱). در شکل ۲ الف، الکتروم در مرحله‌ای است که به صورت انکلوژیون در پیریت دیده می‌شود و در شکل ۲ ب، الکتروم در شکستگی پیریت انباشته شده است.

(solution-precipitation creep) این، ساز و کار پخش حالت جامد نیز ممکن است در درجات دگرگونی بالا، در مهاجرت مهم باشد. ادامه دگرشکلی و شکستگیها در پیریت موجب آزاد شدن الکتروم از پیریت و باز تبلور آن به صورت دانه‌های درشت و قرار گرفتن در کنار کانیهای دیگر می‌شود (شکل ۱ ج). تشکیل الکترومهای درشت Trout Lake, Que, Rosebery River و چند نهشتۀ دیگر ماسیوسولفید غنی از طلا در تاسمانیا به اثبات رسیده است [۶].

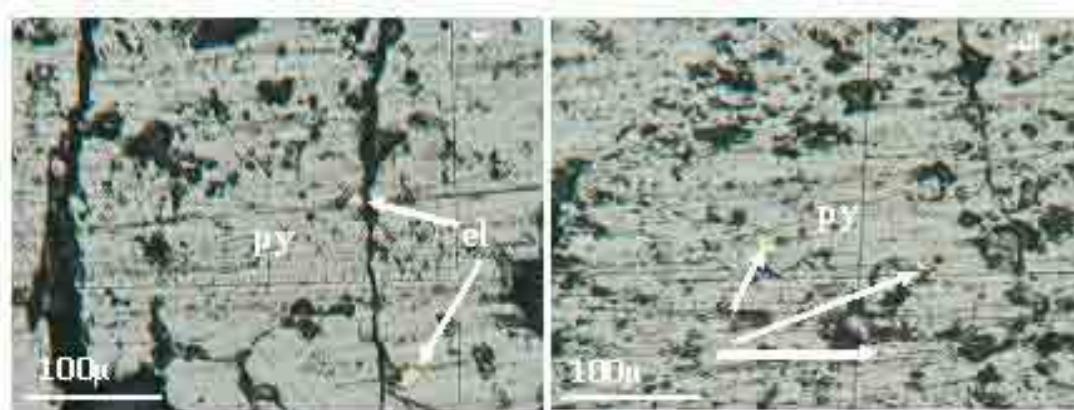
تمامی مراحل بیان شده در شکل ۱، در گستره معدنی



شکل ۱ رفتار طلا در پیریت طladار در طول دگرشکلی (Low to High) [۶].

جدول ۱ آنالیز کمی پیریت‌های فرامبئیدال در زون کانستگ باریتی (تمامی مقادیر بر حسب درصدند).

Point	S	Fe	Co	As	Ag	Cd	Sb	Te	Au	Hg	Total
۱	۵۱,۹۲۶	۴۵,۵۰۹	۰,۰۰۷	۱,۳۱۴	۰,۰۰	۰,۰۲۷	۰,۰۶۶	۰,۰۲	۰,۰۰	۰,۰۰	۹۸,۹۶
۲	۵۰,۴۸۸	۴۶,۶۷	۰,۰۰	۱,۰۰۷	۰,۰۳	۰,۰۰	۰,۰۷۹	۰,۰۰	۰,۰۲۱	۰,۰۰	۹۸,۲۵۵
۳	۵۰,۷۲۸	۴۵,۴۹۶	۰,۰۰	۱,۹۵۵	۰,۰۰	۰,۰۰	۰,۱۱۲	۰,۰۰	۰,۰۰	۰,۰۰	۹۸,۲۹۱
۴	۵۰,۶۸۴	۴۶,۱۵۷	۰,۰۰	۱,۱۲۳	۰,۰۱۶	۰,۰۵۲	۰,۱۲	۰,۰۰۲	۰,۰۴۱	۰,۰۰	۹۸,۱۹۴
۵	۵۱,۴۱۳	۴۶,۱۸۲	۰,۰۰	۲,۰۱۶	۰,۰۰	۰,۰۰	۰,۰۲۶	۰,۰۰	۰,۰۶۳	۰,۰۰	۹۹,۷
۶	۵۱,۵۷۸	۴۶,۵۸۱	۰,۰۰	۰,۱۶۲	۰,۰۰	۰,۰۰	۰,۰۲۶	۰,۰۰	۰,۰۰۸	۰,۰۰	۹۸,۵۵۴



شکل ۲ (الف) انباشت انکلوزیون‌های الکتروم (el) در پیریت (py) تحت تأثیردگرشكلى کم تا متوسط و (ب) انباشت الکتروم در شکستگي پيريت.

بلوری به صورت الکتروم درشت بلور شود. به عنوان مثال چنانکه در جداول ۲، ۳ و ۴ دیده می‌شود، تجزیه کمی کانیهای گالن و سولفوسالتها از جمله تترائدریت-تنانتیت، و تووینیت-وینیت، نشان دهنده وجود طلا در شبکه این کانیها است.

بنابراین طی دگرشكلى، طلا می‌تواند از شبکه کانیها خارج شده و به صورت الکتروم درشت بلور همراه با کانیهای دیگر دیده شود (شکل ۵).

چنانکه در شکل ۶ نمودار مراحل تشکیل، تحول و توالی پاراژنزی کانیها دیده می‌شود، الکتروم در مرحله تنهشست اولیه، در فرایندهای اگزالاتیو زیردریابی، تشکیل شده است. طلا در این مرحله در اثر مخلوط شدن آبغونهای حمل کننده طلا با آب دریا که باعث اکسایش و افزایش pH و کاهش  $H_2S$  آبغون خواهد شد، تنهشین می‌شود [۶].

در مرحله بعدی یا مرحله دگرشكلى (شکل ۶)، مواد معدنی نهشته در مرحله اول همراه با ساخت و بافت‌های مربوطه، و نیز با سنگ درونگیر، تحت تأثیر دگرگونی خفیف ناحیه‌ای (زیر

در مراحل با دگرشكلى بالا (مرحله ج در شکل ۱)، الکتروم از درون شکستگی پیریت به بیرون از آن مهاجرت کرده و در فضای بین بلورهای شکسته پیریت و کانیهای دیگر قرار گرفته است (شکل ۳ الف و ب).

بنابراین در شرایط با دگرشكلى بالا، الکتروم در فضای بین دیگر بلورها ممکن است باز تبلور یابد و بلورهای درشتی از الکتروم را به وجود آورد. در گستره معدنی باریکا، در زون غنی از سولفید و سولفوسالت که دستخوش دگرشكلى بیشتری شده است، بلورهای درشتی از الکتروم تا ۲۶۰ میکرون قابل مشاهده اند (شکل ۴).

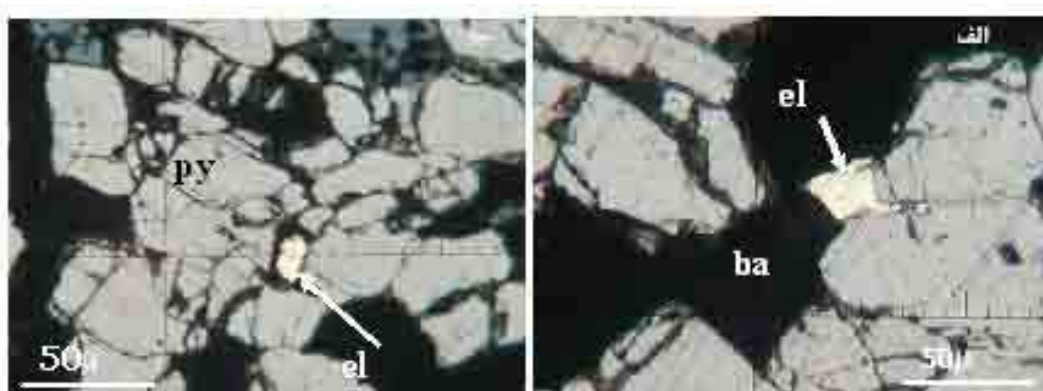
این ساز و کار می‌تواند باعث افزایش بازیافت طلا از کانسنسگ طلا در نهشته‌های دگرشكلى شود [۶]. در گستره معدنی باریکا، ساز و کار بیان شده برای ارتیباط پیریت-الکتروم می‌تواند برای کانیهای دیگر، از جمله تترائدریت-تنانتیت، گالن، بورونویت-بولائزیت، و باریت مورد توجه قرار گیرد. این سازو کار می‌تواند باعث خروج الکتروم غیرقابل رؤیت کانی‌ها از آنها و قرارگرفتی آن در شکستگیها و فضای بین

دگرشكلي اين پهنه برشی روی اين کانه‌زائي کاملاً مشهود است. يکی از اثرهای مهم دگرشكلي، خروج الکتروم غیرقابل رؤیت از کانيهای طلدار از جمله پیریت و قرارگیری و بازتابلو آن در شکستگیها و فضای بین بلوری کانیها به صورت الکتروم درشت بلور است. مراحل مختلف تشکیل بلورهای درشت الکتروم طی دگرشكلي با درجات متفاوت، به صورت جالبی در ذخیره ماسیوسولفید غنی از طلای باریکا قابل مشاهده است. بر پایه دستاوردهای هاستون و دیگران (۱۹۹۲) این رفتار الکتروم طی دگرشكلي می‌تواند باعث افزایش بازیافت طلا از کانسنگ طلا در نهشته‌های ماسیوسولفید غنی از طلای دگرشكلي شود [۶]. بنابراین دگرشكلي اعمال شده، در تحرک دوباره و تغليظ طلا در این گستره از اهمیت ویژه‌ای برخوردار است.

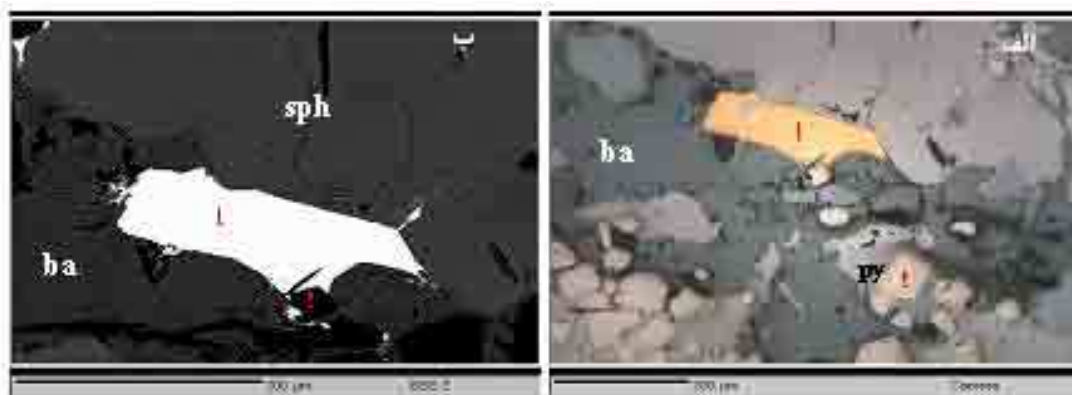
برخساره شیست سبز) و دگرشكلي شکنا-شکل پذیر پهنه برشی باریکا قرار گرفته‌اند. در این مرحله الکتروم موجود در مرحله اول که به صورت کاملاً ریز و میکروسکوپیکی درون بلورهای پیریت یا کانيهای دیگر قرار دارد، تحت تأثیر دگرشكلي به درون شکستگیها و فضاهای خالی بین کانيهای دیگر مهاجرت کرده و در اثر باز تبلور، دانه‌های درشت الکتروم ایجاد شده است. بنابراین مرحله دگرشكلي، موجب تحرک دوباره و تغليظ طلا در این گستره شد که در مباحث فراوری و استحصال طلا از اهمیت ویژه‌ای برخوردار است.

برداشت

کانه‌زائي طلا، نقره (فلزات پایه و باریت) در گستره معدنی باریکا تحت تأثیر پهنه برشی باریکا قرار گرفته و اثرهای ناشی از



شکل ۳ (الف) مهاجرت الکتروم (el) از درون شکستگی پیریت به فضای بین بلورهای باریت (ba) و (ب) قرارگیری الکتروم در فضای بین بلور شکسته پیریت.



شکل ۴ (الف) الکتروم (1) درشت بلور (264 میکرون) در زون غنی از سولفید و سولفوسالت همراه با کانيهای اسفالریت (sph)، باریت (ba) و پیریت (py) و (ب) تصویر BSE از همان الکتروم.

جدول ۲ آنالیز کمی گالن موجود در زون غنی از سولفید و سولفوسالت (تمامی مقادیر بر حسب درصدند).

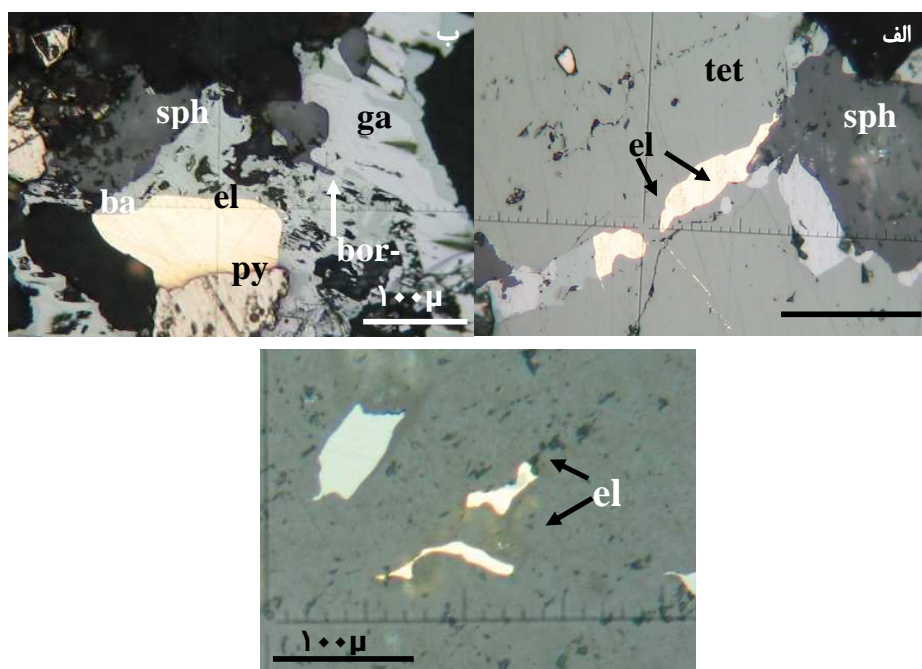
Point	S	Fe	Co	Cu	Zn	As	Ag	Cd	Sb	Au	Hg	Pb	Total
۱	۱۴	۰,۰۰	۰,۰۰	۰,۰۰	۰,۲	۰,۰۰	۰,۳۹	۰,۱۷۳	۰,۴	۰,۰۰	۰,۰۰	۸۵,۶۳۸	۱۰۰,۶۸۹
۲	۱۴	۰,۰۰	۰,۰۰۹	۰,۰۱۹	۰,۱	۰,۰۰	۰,۱۳	۰,۰۷۶	۰,۲	۰,۰۰	۰,۰۰	۸۶,۵۷۸	۱۰۰,۵۶۴
۳	۱۴	۰,۰۰	۰,۰۰	۰,۰۵۰۴	۰,۱	۰,۰۰	۰,۰۷	۰,۰۰	۰,۱	۰,۱۹۱	۰,۰۰	۸۵,۱۵	۹۹,۶۹۷
۴	۱۴	۰,۰۰	۰,۰۰	۰,۰۰۷۳	۰,۱	۰,۰۰	۰,۰۲	۰,۰۰	۰,۳	۰,۰۰	۰,۰۰	۸۵,۹۰۵	۹۹,۶۹۹
۵	۱۴	۰,۰۰	۰,۰۱۹	۰,۰۰	۰,۰۰	۰,۰۰	۰,۲	۰,۰۰	۰,۳	۰,۰۴۹	۰,۰۰	۸۵,۷۵۷	۱۰۰,۰۱۳

جدول ۳ آنالیز کمی تترائدریت- تنانیت (تمامی مقادیر بر حسب درصدند).

Point	S	Fe	Cu	Zn	As	Ag	Cd	Sb	Au	Hg	Pb	Total
۱	۲۴	۰,۷۲۶	۲۰,۷۶	۶,۳۵۴	۴,۷	۱۰,۸۲۲	۰,۰۰	۲۱,۶۷	۰,۱	۰,۳۲۵	۰,۰۰	۹۹,۹۵۲
۲	۲۵	۰,۵۸۹	۳۱	۷,۰۶۲	۵,۷	۱۰,۷۵۶	۰,۰۸	۲۰,۷۷	۰,۰۰	۰,۰۱۷	۰,۰۰	۱۰۰,۶۶۲
۳	۲۵	۰,۶۴۳	۳۱,۷۴	۶,۸۳۱	۵,۲	۱۰,۳۶۵	۰,۰۹	۲۱,۱۱	۰,۰۰	۰,۱۷	۰,۰۰	۱۰۰,۶۲۳
۴	۲۵	۰,۶۶۴	۳۱,۷۹	۶,۸۹۲	۵,۵	۱۰,۳۱۳	۰,۱۵	۲۰,۷۵	۰,۰۰	۰	۰,۰۰	۱۰۰,۸۴۵
۵	۲۵	۰,۷۵۸	۳۱,۶۴	۶,۹۲۹	۵,۴	۱۰,۷۹۸	۰,۰۴	۲۰,۷۳	۰,۰۲	۰,۲۰۲	۰,۰۰	۱۰۱,۰۵۶

جدول ۴ آنالیز کمی از کانی توبونیت- وینیت (تمامی مقادیر بر حسب درصدند).

Point	S	Fe	Cu	Zn	As	Ag	Cd	Sb	Au	Hg	Pb	Total
۱	۲۵	۰,۰۰	۰,۰۰۳	۰,۰۰۳	۱۵	۰,۱۳۱	۰,۰۳	۲۲,۳۲	۰,۰۰	۰,۰۰	۳۷,۸۵۶	۹۹,۶۳۹
۲	۲۳	۰,۰۰	۰,۰۰	۰,۱۱۱	۱۳	۴,۰۰۹	۰,۰۰	۱۷,۹۶	۰,۰۰	۰,۰۰	۴۱,۵۹۶	۹۹,۷۶۳
۳	۲۴	۰,۰۰	۰,۰۳۲	۰,۰۰۴۵	۱۵	۰,۰۴۵	۰,۰۷	۲۱,۳۸	۰,۲	۰,۰۰	۳۸,۴۴	۹۹,۵۸۲
۴	۲۵	۰,۰۰	۰,۰۰۷	۰,۰۰	۱۶	۰,۲۱۲	۰,۰۴	۲۰,۳۷	۰,۰۰	۰,۰۰	۳۸,۹۰۷	۱۰۰,۳۵۵
۵	۲۵	۰,۰۰	۰,۰۰۹	۰,۰۰	۱۵	۰,۰۸۳	۰,۰۰	۲۱,۴۹	۰,۱	۰,۰۰	۳۸,۳۹۲	۹۹,۶۹۷



شکل ۵ (الف) دو ذره الکتروم (el) موجود در شکستگی تترائدریت (tet) همراه با اسفالاریت (sph)، (ب) الکتروم درشت و باز تبلور در فضای بین بلورهای پیریت (py)، بورونوئیت-بولاتزرت (bor-bol)، باریت (ba)، اسفالاریت (sph) و گالن (ga)، و (ج) دو ذره درشت الکتروم در بلور باریت (ba).

Minerals	Volcanic Exhalative		Deformation	Supergene
	I	II		
pyriteI				
pyriteII				
sphalerite				
tetrahedrite				
bournonite-Boulangerite				
twinnite-veenite				
jamestonite				
stibnite				
galena				
gold				
electrum				
chalcocite				
covelite				
malachite-azorite				
barite				
quartz				
sericite				
calcite				
chlorite				
fe-oxides				
Textures & Structures	Disseminated			
	Colloform-Framboidal			
	Vein-Veinlet			
	Massive			
	Open space filling			
	Banded(Shear band)			
	Elongated			
	Recrystallization			
	Pressure shadow			
	Strainfring oulinage			
	Cataclastic			

شکل ۶ مراحل تشكیل و تحول و توالی پاراژنی کانیها در گستره معدنی باریکا.

[۳] یارمحمدی ع.، راستاد ا.، محجل م.، شمسا م.ج.، "رخداد طلای باریکا: کانه‌زایی تیپ ماسیوسولفید و لکانوژنیک غنی از طلا در ایران"، خلاصه مقالات بیست و چهارمین گردهمایی علوم زمین، سازمان زمین‌شناسی و اکتشافات معدنی کشور (۱۳۸۴).

[۴] Huston D. "Gold in Volcanogenic Massive Sulfide Deposits: Distribution, Genesis, and Exploration", *SEG Rev.* 13 (2000) 401-426

[۵] Large R.R. "Australian Volcanic-hosted Massive Sulfide Deposits: Features, Styles, and Genetic Models", *Econ. Geol.* 87 (1992) 471-510

[۶] Huston D., Bottrill R. S., Creelman R., Zaw K., Ramsden T., Rand S., Gemmell J.B., Sie S.H., Large R.R., "Geologic and Geochemical Controls on the Mineralogy and Grain Size of Gold-Bearing Phases, Eastern Australian Volcanic Hosted Massive Sulfide Deposits", *Econ. Geol.* 87 (1992) 542-563.

#### تشکر و قدردانی

از جناب آقای مهندس محمد جواد شمسا، مدیریت محترم خدمات اکتشافی سازمان زمین‌شناسی و اکتشافات معدنی کشور به دلیل حمایتهای مالی در خصوص آنالیزهای مورد نیاز از جمله ریز پردازنده الکترونی در این کار پژوهشی، و نیز از جناب آقای دکتر محمد محجل نیز به خاطر تفسیر دگرگشکلی در منطقه تشکر و قدردانی می‌شود.

#### مراجع

[۱] یارمحمدی ع.، "کانی‌شناسی، ژئوشیمی، ساخت و بافت و زنگ کانه‌زایی طلا (نقره، فلزات پایه و باریت) در محدوده معدنی باریکا، شرق سردشت"، پایان‌نامه کارشناسی ارشد زمین‌شناسی اقتصادی، دانشکده علوم پایه، دانشگاه تربیت مدرس (۱۳۸۵)، صفحه ۱۸۲.

[۲] محجل م.، "گزارش زمین‌شناسی و ساختاری منطقه مطالعاتی پروژه آلوت"، سازمان زمین‌شناسی و اکتشافات معدنی کشور (۱۳۸۳).